

# Robótica I

## Tareas 1 y 2. Tangent Bug

9 de mayo de 2020

Marco Antonio Esquivel Basaldua

### I. INTRODUCCIÓN

El algoritmo de planeación de movimientos en robótica *Tangent Bug* sirve como una mejora al algoritmo *Bug2*, determinando el camino más corto a la meta usando un sensor, con rango de alcance, de orientación de 360 grados de resolución infinita. Este sensor se modela con la función de distancia  $\rho : \mathbb{R}^2 \times S^1 \rightarrow \mathbb{R}$ . Se considera que el robot es un punto localizado en  $x \in \mathbb{R}^2$  con líneas de sensado emanando de él de forma radial. Para cada  $\theta \in S^1$ , el valor  $\rho(x, \theta)$  es la distancia al obstáculo más cercano siguiendo la línea de sensado desde  $x$  con un ángulo  $\theta$ . De manera más formal

$$\rho(x, \theta) = \min_{\lambda \in [0, \infty]} d(x, x + \lambda[\cos\theta, \sin\theta]^T),$$

*tal que*  $x + \lambda[\cos\theta, \sin\theta]^T \in \cup_i \mathcal{WO}_i$

Ya que los sensores en la vida real tienen rango limitado, se define la función de distancia saturada denotada por  $\rho_R : \mathbb{R}^2 \times S^1 \rightarrow \mathbb{R}$  que toma los valores de  $\rho$  cuando un obstáculo se encuentra dentro de su rango de sensado y vale infinito cuando las líneas de sensado son mayores a este rango,  $R$ , lo que significa que los obstáculos están fuera de del espacio de sensado. De forma más formal

$$\rho_R(x, \theta) = \begin{cases} \rho(x, \theta) & \text{si } \rho(x, \theta) < R \\ \infty & \text{si } \rho(x, \theta) \geq R \end{cases}$$

Justo como los algoritmos *Bug1* y *Bug2*, *Tangent Bug* itera entre dos comportamientos: “ir a la meta” y “seguimiento de frontera”. Estos comportamientos difieren de *Bug1* y *Bug2*. Aunque “ir a la meta” direcciona el robot a la meta, este comportamiento puede tener una fase donde el robot sigue la frontera, y el “seguimiento de frontera” puede tener una fase en la que no se sigue la frontera.

Para mayor información se puede consultar el capítulo 2 del libro “Principles of Robot Motion, Theory, Algorithms and Implementations” de Howie Choset et al.

### II. ALGORITMO

El algoritmo *Tangent Bug* se presenta a continuación.

---

**Input:** A point robot with a range sensor

**Output:** A path to the  $q_{\text{goal}}$  or a conclusion no such path exists

---

```
1: while True do
2:   repeat
3:     Continuously move toward the point  $n \in \{T, O_i\}$  which minimizes  $d(x, n) + d(n, q_{\text{goal}})$ 
4:   until
      ■ the goal is encountered or
      ■ The direction that minimizes  $d(x, n) + d(n, q_{\text{goal}})$  begins to increase  $d(x, q_{\text{goal}})$ , i.e., the robot detects a “local minimum” of  $d(\cdot, q_{\text{goal}})$ .
5:   Chose a boundary following direction which continues in the same direction as the most recent motion-to-goal direction.
6:   repeat
7:     Continuously update  $d_{\text{reach}}$ ,  $d_{\text{followed}}$ , and  $\{O_i\}$ .
8:     Continuously moves toward  $n \in \{O_i\}$  that is in the chosen boundary direction.
9:   until
      ■ The goal is reached.
      ■ The robot completes a cycle around the obstacle in which case the goal cannot be achieved.
      ■  $d_{\text{reach}} < d_{\text{followed}}$ 
10: end while
```

---

### III. IMPLEMENTACIÓN

Para la implementación del algoritmo se hace uso del simulador *webots* en el que se simula el robot *e-puck* (figura 1). Este es un robot tipo disco de 7.4 cm de diámetro de diámetro y 4.5 cm de alto.

Cabe señalar que aunque el algoritmo *Tangent Bug* está pensado para un robot tipo punto con un sensor de rango de resolución infinita, en este caso se adapta el comportamiento del algoritmo para el robot *e-puck* que es un robot disco con sólo 8 rayos de sensado radiales. Entre estas modificaciones se encuentra el hacer que el robot rote en sitio para alinearse ya sea a la meta o a la frontera que debe seguir. También se debe de tomar en cuenta que no es posible que el robot pase por espacios menores a su radio, como lo haría un robot tipo punto.



**Figura 1.** Robot *e-puck* usado en la implementación.

La ejecución del algoritmo se ejemplifica en un video sencillo en el que se observa como el robot *e-puck* alcanza la meta marcada con un punto rojo en un mapa con dos

obstáculos. El mapa utilizado se muestra en la figura 2 en la que se aprecia la ubicación inicial del robot y la meta marcada por un círculo rojo.



Figura 2. Mapa de prueba para el algoritmo *Tangent Bug*.

#### IV. PRUEBA DE ALGORITMO COMPLETO

Para probar que el algoritmo *Tangent Bug* es completo se consideran dos escenarios, uno en el que el robot llega al objetivo  $q_{goal}$  en un camino de distancia finita desde  $q_{start}$  y otro en el que no se encuentra tal camino a la meta.

Para el primero de los escenarios, primero se considera el caso de un robot con un sensor de contacto ( $R = 0$ ). En lo siguiente se denota  $D_{goal}$  como el disco centrado en  $q_{goal}$  y de radio  $\|q_{start} - q_{goal}\|$ . Usando un sensor de este tipo, existe una cota superior  $L_{max}$

$$L_{max} = \|q_{start} - q_{goal}\| + \sum_{i \in \mathcal{I}} \Pi_i \times \#Minima_i$$

donde  $\mathcal{I}$  es el índice de los obstáculos que intersectan el disco  $D_{goal}$ ,  $\Pi_i$  es el perímetro del  $i$ -ésimo obstáculo y  $\#Minima_i$  es el número de mínimos locales de  $d(x, q_{goal})$  en  $D_{goal}$  a lo largo de la frontera del  $i$ -ésimo obstáculo. Ya que se trabaja con un número finito de obstáculos y de perímetro finito cada uno, por tanto con lugares finitos donde se generen mínimos locales en la función de distancia, se comprueba que  $L_{max} < \infty$ .

En el caso de un sensor con un rango de detección ilimitado ( $R = \infty$ ), se hacen los siguientes dos supuestos. Sea  $\hat{v}$  denota un vector unitario. Los nodos  $O_i$  (véase la figura 3) satisfacen  $(\hat{O}_i - x)(\hat{q}_{goal} - x) > 0$ , donde  $x$  es la posición actual del robot. Se asume que existe un valor  $\gamma$  positivo y mayor a cero tal que  $(\hat{O}_i - x)(\hat{q}_{goal} - x) > \gamma$ . El segundo supuesto tiene que ver con la condición de dejar el comportamiento de "seguimiento de frontera". El nodo  $O_i$  que se busca para para dejar este comportamiento debe de estar dentro de un rango

$\rho$ , donde  $\rho$  es un valor finito y positivo. Bajo estos supuestos se define la cota superior

$$L_{max} = (1 + \frac{1}{\gamma})\|q_{start} - q_{goal}\| + \sum_{i \in \mathcal{I}} (\Pi_i + \rho) \times \#Minima_i$$

Estas dos cotas descritas están definidas en los casos límite del rango de sensado, por lo que también se comprueban los casos en que  $0 < R < \infty$ .

Para el segundo de los escenarios, se reporta que no se encuentra un camino a la meta cuando se recorre todo el borde de un obstáculo. Es decir, cuando se regresa al punto donde se hizo el cambio por última vez del comportamiento "ir a la meta" a "seguimiento de frontera".

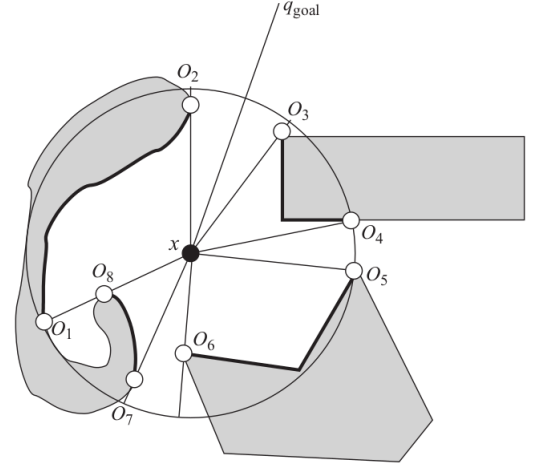


Figura 3. Puntos que indican discontinuidad debido a la presencia de obstáculos.

#### REFERENCIAS

- [1] H. Cheset et.al., "Principles of Robot Motion, Theory, Algorithms and Applications," MIT Press, pp. 23–31, 2005.
- [2] Yoshiaki Shirai, "Robotics Research: The Eighth International Symposium", Springer, pp.113–116, 2012